

УДК 004.942

## СЛУЧАЙНЫЕ ГРАФЫ КАК МОДЕЛЬ СРЕДЫ РАСПРОСТРАНЕНИЯ И ВЗАИМОДЕЙСТВИЯ САМОРАЗМНОЖАЮЩИХСЯ ОБЪЕКТОВ

© 2015 К.Е. Климентьев

Самарский государственный аэрокосмический университет им. академика С.П. Королева  
(национальный исследовательский университет)

Поступила в редакцию 30.07.2015

Рассматриваются аспекты построения и применения некоторых разновидностей случайных графов в качестве модели среды распространения и взаимодействия саморазмножающихся объектов, таких как компьютерные вирусы и черви, болезнетворные микроорганизмы и т.п.

**Ключевые слова:** самовоспроизводящийся объект, компьютерный вирус, сетевой червь, распространение, взаимодействие, имитационная модель, случайная сеть, случайный граф, коэффициент кластеризации, вероятностное распределение.

### ВВЕДЕНИЕ

Силами преподавателей и студентов факультета информатики СГАУ ведется работа над реализацией системы имитационного моделирования распространения и взаимодействия саморазмножающихся объектов. Под саморазмножающимися объектами в данной работе понимаются сущности реального мира, способные к обладанию свойством саморепликации, причем это свойство передается от объекта к объекту в результате их взаимодействия. Примерами являются:

- инфицирование живых существ болезненными микроорганизмами [1];
- размножение компьютерных вирусов и сетевых червей [3];
- передача информационных сообщений между людьми и устройствами;
- и даже распространение зомби [5].

В качестве моделей среды распространения и взаимодействия объектов традиционно принимаются графы различных видов (см. табл. 1).

В данной работе речь пойдет о графах, используемых для моделирования эпидемий «мобильных червей» [3] и, возможно, воздушно-капельных инфекций среди высших животных [1]. Эти эпидемии характеризуется следующими особенностями:

- возможностью передачи свойства саморепликации лишь в пределах ограниченного «радиуса действия» (например, на расстояниях не более 10-15 м. по протоколу Bluetooth);
- изменчивостью топологии среды в результате перемещения объектов в пространстве;
- для случая «мобильных червей» - детерминированным алгоритмом поведения, содержащим, возможно, элементы стохастизма [3].

**Климентьев Константин Евгеньевич, кандидат технических наук, доцент кафедры информационных систем и технологий. E-mail: climentieff@ro.ru**

### 1. ПОСТАНОВКА ЗАДАЧИ

Класс сетей, служащий для моделирования среды существования таких объектов, носит наименование «специального» (*ad hoc*) и представляет собой множество случайных графов с различной топологией [4]. Задачи изучения процессов распространения и взаимодействия саморазмножающихся объектов близки к множеству задач, рассматриваемых в теории перkolации.

Общими характеристиками таких графов, влияющими на динамику распространения и взаимодействия объектов, являются:

- вероятностное распределение степеней  $K_i$  вершин;
- вероятностное распределение локальных коэффициентов кластеризации  $C_i$  вершин.

Под локальным коэффициентом кластеризации вершины обычно понимают долю «треугольников» данной вершины, образованных из «соседей» данной вершины и являющихся «соседями» для друг друга, в общем количестве потенциально возможных «треугольников»  $c_{\max} = k_i(k_i - 1)/2$ , где  $k_i$  – степень  $i$ -ой вершины графа.

Важными частными характеристиками таких графов являются средняя степень вершин

$$\bar{k} = \frac{1}{N} \sum_{i=1}^N k_i \text{ и средний коэффициент кластери-}$$

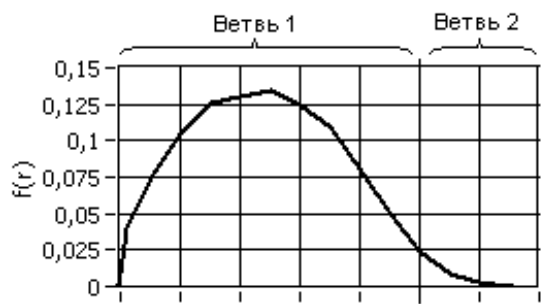
зации  $\bar{c} = \frac{1}{N} \sum_{i=1}^N c_i$ , где  $i$  – номер вершины;  $N$  – количество вершин в графе.

Наиболее близкими абстракциями для сетей, моделирующих среду обитания «близкодействующих» саморазмножающихся объектов, являются случайный граф Радо (он же граф Эрдеша-Реньи) и «геометрический» случайный граф. Они различаются методами построения.

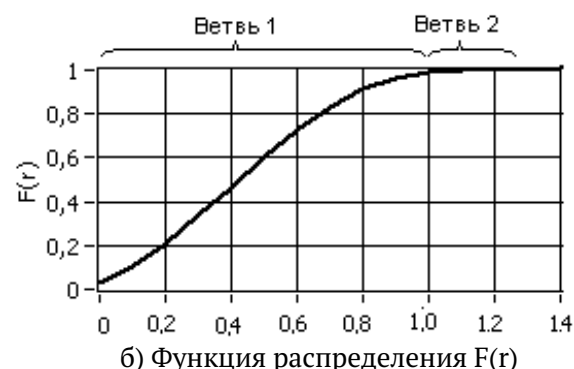
Целью исследования, положенного в основу

**Таблица 1.** Графовые модели среды обитания саморазмножающихся объектов

Объект	Вид графа
Сетевые черви	Полный граф
Файловые черви и вирусы, почтовые черви, сообщения в социальных сетях	Безмасштабные (scale free) случайные графы с экспоненциальным распределением степеней вершин [4]
Болезнетворные микроорганизмы, мобильные вирусы, сообщения в сетях сотовой связи	Случайные графы с неэкспоненциальным распределением степеней вершин [4]



а) Плотность распределения  $f(r)$



б) Функция распределения  $F(r)$

**Рис. 1.** Случайные графы

данной статьи, является изучение возможностей построения заданных типов случайных графов с заданными средней степенью вершины  $\bar{K}$  и средним коэффициентом кластеризации  $\bar{c}$ .

## 2. СЛУЧАЙНЫЙ ГРАФ РАДО (RRG)

Он получается из «полного» графа, каждое ребро которого остается с заранее выбранной вероятностью  $p$  и удаляется с вероятностью  $1-p$  (см. рис. 1,б). Степени  $k_i$  всех вершин в таком графе примерно одинаковы, более точно – их количество подчиняется биноминальному распределению  $P(k_i = k) = NC_{N-1}^k p^k (1-p)^{N-1-k}$  со средней степенью вершины  $\bar{K} = p \times N$ , где  $N$  – количество вершин [4]. Очевидно, для таких графов средний коэффициент кластеризации  $\bar{c} = p$ .

## 3. СЛУЧАЙНЫЙ «ГЕОМЕТРИЧЕСКИЙ» ГРАФ (RGG)

В построении графа со случайной геометрией (RGG) участвуют «координаты» узлов. Например, если считать, что граф размещен в единичном квадрате, тогда каждому узлу приписываются координаты, представляющие собой равномерно распределенные на интервале  $[0..1]$  случайные величины. Затем для каждой пары узлов с индексами  $i$  и  $j$  рассчитывается «расстояние»  $r_{ij}$ , и ребро между узлами проводится в том случае, если расстояние между ними не превышает заранее назначенного «радиуса»  $r_0$  (см. рис. 1,а).

### 3.1. Получение желаемой средней степени вершин

Для того, чтобы при построении случайного «геометрического» графа получать желаемое значение  $\bar{K}$ , необходимо изучить распределение

величины  $r = \sqrt{(x_i - x_j)^2 + (y_i - y_j)^2}$ , где  $(x_i, y_i)$  и  $(x_j, y_j)$  – координаты любых двух случайных точек в «единичном квадрате». Более общая задача решена, например, в работе [7], но там отсутствует необходимое выражение, которым можно было бы воспользоваться при генерировании графов. Поэтому пользуясь известными соотношениями теории вероятности [2], самостоятельно получены следующие результаты.

Расстояние  $r$  между двумя случайными точками в «единичном квадрате» подчиняется закону с плотностью:

$$f(r) = 2r^3 - 8r^2 + 2\pi r, \text{ если обе точки внутри «единичного круга»};$$

$$f(r) = -2r^3 + 2r^2 \sqrt{r^2 - 1} + r(4 - 2\pi - 8\arctan(\sqrt{r^2 - 1})), \text{ иначе};$$

и функцией распределения:

$$F(r) = 0.5r^4 - 2\frac{2}{3}r^3 + \pi r^2, \text{ если обе точки}$$

внутри «единичного круга»;

$$F(r) = 1\frac{1}{3}(2r^2 + 1)\sqrt{r^2 - 1} + (\pi - 2)r^2 + \frac{1}{3}, \text{ иначе}.$$

Математическое ожидание расстояния

$$m(r) = \frac{1}{15}(2 + \sqrt{2} + 5\arcsin(1)) \approx 0.52.$$

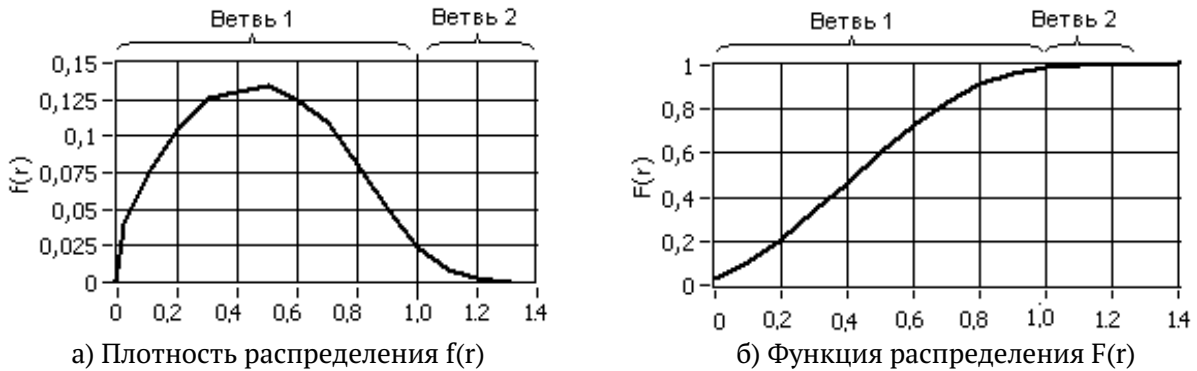


Рис. 2. Распределение расстояния между двумя случайными точками

Таблица 2. Числовые значения  $F(r)$ 

$r$	0	.1	.2	.3	.4	.5	.6	.7	.8	.9	1.0	1.1	1.2	1.3	1.4
$F(r)$	0	.028	.105	.214	.344	.483	.621	.746	.852	.932	.980	.982	.984	.990	.997

Очевидно, средняя степень вершин соответствующего графа зависит от  $r_0$ :

$$\bar{k} = (N-1) \times P(r < r_0) = (N-1) \times F(r_0).$$

### 3.2. Получение желаемого среднего коэффициента кластеризации

Для того, чтобы при построении случайного «геометрического» графа получать желаемое значение  $\bar{c}$ , необходимо изучить распределение величины

$$r = \sqrt{(x_i - x_j)^2 + (y_i - y_j)^2}, \quad (1)$$

где  $(x_i, y_i)$  и  $(x_j, y_j)$  – координаты любых двух случайных точек в круге радиусом  $r_0$ . В случае  $r \leq r_0$  вершины, являющиеся «соседями» заданной вершины, являются так же «соседями» друг для друга.

Выражение для плотности распределения можно найти в [6]:

$$g(r) = \frac{4r}{\pi r_0^2} \left( \arccos\left(\frac{r}{2r_0}\right) - \frac{r}{2r_0} \sqrt{\left(1 - \frac{r^2}{4r_0^2}\right)} \right).$$

Выражение для функции распределения получено самостоятельно:

$$G(r) = \frac{1}{\pi r_0^3} \left( 2r^2 r_0 \arccos\left(r/2r_0\right) - \frac{1}{4} \left( r^3 + 2r^2 \right) \sqrt{4 - r^2/r_0^2} + 2r_0^3 \arcsin\left(r/2r_0\right) \right).$$

Вероятность образования «треугольника» из заданной точки и двух случайных, находящихся на расстоянии меньше  $r_0$  от заданной, составляет

$$G(r_0) = \frac{1}{\pi} \left( \arccos\left(\frac{1}{2}\right) - \frac{\sqrt{3}}{4} + \arcsin\left(\frac{1}{2}\right) \right) =$$

$$= 1 - \frac{3\sqrt{3}}{4\pi} \approx 0.59.$$

Таким образом, как только что показано, в «геометрических» случайных графах коэффициент кластеризации есть константа, и это обстоятельство совпадает с выводом, полученным в [8].

Однако данный вывод справедлив лишь при следующих ограничениях:

$0 < r_0 \leq 0.5$ , поскольку при больших  $r_0$  любые вписанные круги начинают превышать размеры единичного квадрата;

$$N \rightarrow \infty.$$

Несоблюдение второго ограничения приводит к существенным отклонениям  $G(r_0)$  от теоретического значения, более того, при малых  $N$  поведение коэффициента кластеризации описывается монотонно возрастающей функцией (см. рис. 4). Разумеется, при увеличении  $N$  наблюдается приближение коэффициента к теоретическим значениям (см. рис. 4, б). Кроме того, в некоторой степени избавиться от «эффекта малого  $N$ » позволяет изменение алгоритма построения «геометрического» случайного графа, заключающееся в отказе от Евклидовой метрики (1) в пользу «тороидальной»:

$$r = \min\left(\sqrt{(x_i - x_j)^2 + (y_i - y_j)^2}, \sqrt{\Delta x^2 + \Delta y^2}\right), \quad (2)$$

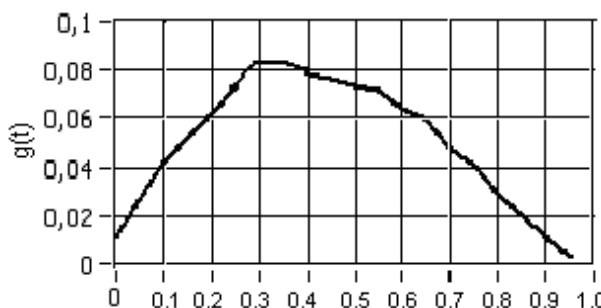
где

$\Delta x = x_0 + 1 - x_1$  при  $x_0 \leq x_1$ ,  $\Delta x = x_1 + 1 - x_0$  иначе;

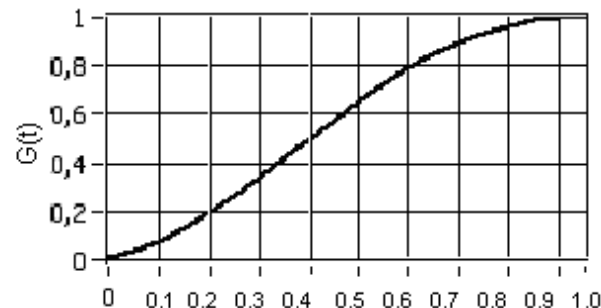
$\Delta y = y_0 + 1 - y_1$  при  $y_0 \leq y_1$ ,  $\Delta y = y_1 + 1 - y_0$  иначе.

Сравнительные результаты применения различных метрик, полученные при помощи численных экспериментов, приведены на рис. 4, а.

Полученные в результате экспериментов числовые значения зависимостей при разных  $r_0$  и  $N$  позволяют строить графы с любым желаемым  $\bar{c}$ .

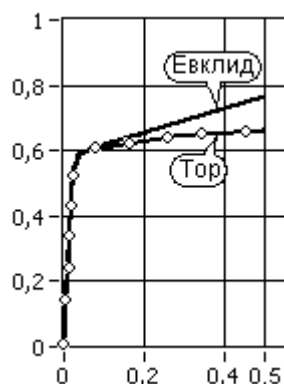


а) Плотность распределения  $f(r)$

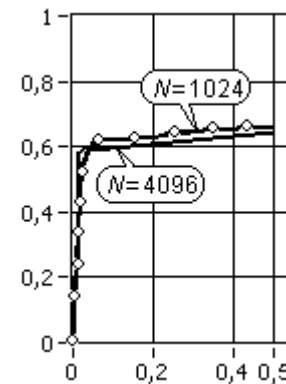


б) Функция распределения  $F(r)$

Рис. 3. Распределение расстояния между двумя случайными точками в единичном круге



а) Зависимость  $\bar{c}$  от вида метрики  
при  $N=1024$



б) Зависимость  $\bar{c}$  от размера графа  $N$   
(метрика «тороидальная»)

Рис. 4. Коэффициент кластеризации RGG при малых  $N$

#### 4. ПРИМЕРЫ ИСПОЛЬЗОВАНИЯ ПОЛУЧЕННЫХ СООТНОШЕНИЙ И РЕЗУЛЬТАТОВ

В качестве первого примера применения полученных соотношений приведем результаты генерации случайных графов типов RRG и RGG с  $N=30$  вершинами и ожидаемой средней степенью вершин  $\bar{k} = 10$ .

Второй пример – результаты генерации случайных графов типа RRG и RGG (метрика «тороидальная») с  $N=32$  вершинами и ожидаемым средним коэффициентом кластеризации  $\bar{c} = 0.44$ .

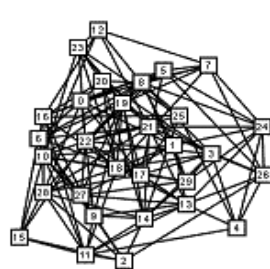
Интересно, что во втором случае желаемое значение среднего коэффициента кластеризации

$\bar{c}$  достигнуто при на порядок меньшем значении средней степени вершин  $\bar{k}$ .

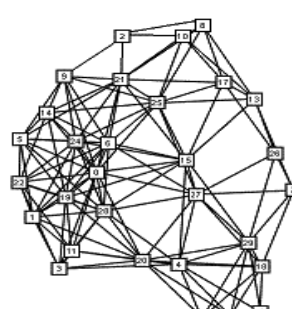
Изучение влияния  $\bar{c}$  и  $\bar{k}$  на динамику распространения и взаимодействия саморазмножающихся объектов послужит целью дальнейших исследований.

#### СПИСОК ЛИТЕРАТУРЫ

- Братусь А.С., Новожилов А.С., Платонов А.П. Динамические системы и модели биологии. М.: Физматлит, 2010. 400 с.
- Вентцель Е.С., Овчаров Л.А. Прикладные задачи теории вероятностей. М.: Радио и связь, 1983. 416 с.

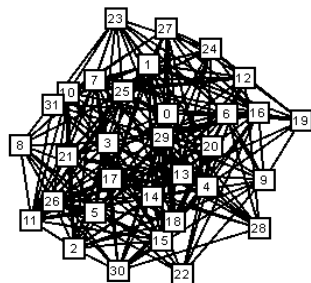
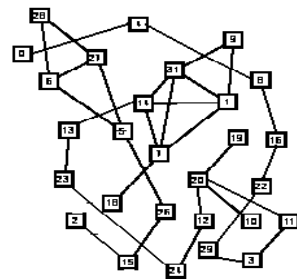


а) Граф типа RRG,  $p=0.33$ ,  $\bar{k} \approx 9.13$



а) Граф типа RGG,  $r_0=0.39$ ,  $\bar{k} \approx 9.46$

Рис. 5. Графы разных типов с одинаковой средней степенью вершин

а) Граф типа RRG,  $p=0.45$ ,  $\bar{c} \approx 0.45$ а) Граф типа RGG,  $r_0=0.012$ ,  $\bar{c} \approx 0.44$ **Рис. 6.** Графы разных типов с одинаковым средним коэффициентом кластеризации

- 3. Климентьев К.Е. Компьютерные вирусы и антивирусы: взгляд программиста. М.: ДМК-Пресс, 2013. 656 с.
- 4. Райгородский А.М. Модели случайных графов и их применения // М.: Труды МФТИ. 2010. Т. 2, №4. С. 130-140.
- 5. When Zombies Attack: Mathematical Modelling of an Outbreak of Zombie Infection / R. Smith, P. Munz, I. Hudea, J. Imad // Infectious Disease Modelling Research Progress. Nova Science Publishers, Inc. Pp. 133-157.
- 6. Mathai A.M. An introduction to geometrical probability: distributional aspects with applications. CRC Press, 1999. 576 pp.
- 7. Philip J. The probability distribution of the distance between two random points in a box // TRITA MAT 7(10), 2007. 13 pp.
- 8. Dall J., Christensen M. Random geometric graphs // Phys. Rev., vol.66, no 016121, 2002.

### RANDOM GRAPHS AS MODEL OF PROPAGATION AND INTERACTION AREA OF SELFREPRODUCTIVE OBJECTS

© 2015 K.E. Klimentiev

Samara State Aerospace University named after Academician S.P. Korolyov  
(National Research University)

Some types of random graphs are discussed. Also, some examples of graph building are presented.

*Key words:* selfreproductive object, computer virus, networm, spreading, interaction, simulation, homogeneous graph, random graph, random geometrical graph, ad hoc network, cluster coefficient, probability distribution.